

استخدام المنحنيات الانتقالية ذات التقوس اللا خطى

للسرعات العالية في الخطوط الحديدية السورية

الدكتور المهندس محمد هاجم الوادي¹

الملخص

تستخدم المنحنيات الانتقالية في التخطيط الأفقي لمسارات الخطوط الحديدية، وتكون عادة ذات تقوس متغير خطياً. في الخطوط ذات السرعات العالية يفضل استخدام منحنيات انتقالية متغيرة التقوس لا خطياً، لأنه يعطي شروطاً حركية أفضل للقطارات عند عبورها من الاستقامات إلى المنحدرات الدائرية.

هذه الورقة تبحث في عدة نماذج مطورة من المنحنيات الانتقالية المتغيرة التقوس اللا خطى وإجراء تقييم لتغيير عناصرها وإدخال الارتداد الجانبي (معدل تغير التسارع الجانبي) في التقييم. واقتراح لاستخدامها في شبكة الخطوط الحديدية السورية على الخطوط الجديدة أو الخطوط المطلوب إعادة تأهيلها.

¹ أستاذ مساعد - قسم النقل والمواصلات - كلية الهندسة المدنية - جامعة دمشق.

1- المقدمة

تستخدم المنحنيات الانتقالية في التخطيط الأفقي لمسارات الخطوط الحديدية، وتكون عادة ذات تقوس متغير خطياً. في الخطوط ذات السرعات العالية يفضل استخدام منحنيات انتقالية متغيرة التقوس لا خطياً، لأنها يعطي شروطاً حركية أفضل للقطارات عند عبورها من الاستقامتات إلى المنحدرات الدائرية.

هذه الورقة تبحث في أنواع المنحنيات الانتقالية المتغيرة التقوس اللا خطى وبناء عليه اقترح استخدامها في شبكة الخطوط الحديدية السورية ولاسيما على الخطوط الجديدة أو الخطوط المطلوب إعادة تأهيلها خصوصاً على الخطوط المصممة لسرعات عالية تصل إلى 250 كم/سا، وذلك على محور جنوب شمال من الحدود الأردنية إلى الحدود التركية، ومحور غرب شرق من البحر المتوسط إلى الحدود العراقية.

اعتمدنا فيها تقديم الأسس الرياضية النظرية ثم التعرف على المنحنيات الانتقالية المستخدمة عادة في الخطوط الحديدية ثم المنحنيات الانتقالية المتغيرة التقوس اللا خطى ثم المقارنة بينها مع مثال عددي. وأخيراً التوصية باعتماد أنواع محددة في دفاتر الشروط الفنية للدراسات الهندسية للخطوط الحديدية.

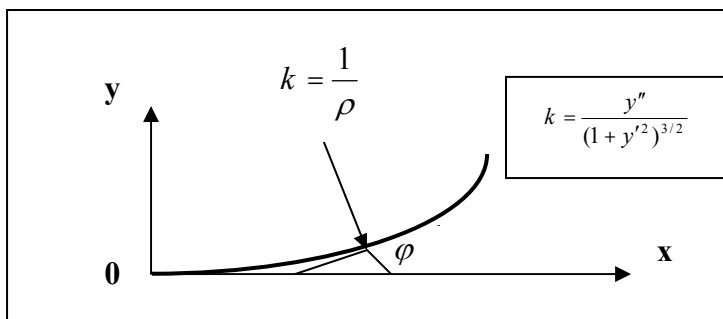
2- مفاهيم أساسية [1, 2]

2-1 التقوس curvature

يعرف التقوس لمنحنى في نقطة منه بأنه مقلوب نصف قطر المنحنى في تلك النقطة. والمعادلة الرياضية الأساسية له في جملة إحداثيات متعامدة هي الآتية (الشكل 1)

$$k = \frac{1}{\rho} \quad (1)$$

$$k = \frac{y''}{(1 + y'^2)^{3/2}} \quad (2)$$



الشكل 1: المعادلة الأساسية للمنحنى

k التقوس

ρ نصف قطر الانحناء في النقطة المدروسة

2-2 زاوية المنحنى (زاوية الاتجاه) Curve angle

وهي الزاوية بين المماس للمنحنى في بدايته (أي محور الفواصل) والمماس عند النقطة ذات الإحداثيات (x, y) ، للحصول على المعادلة الرياضية لزاوية المنحنى نكامل معادلة التقوس مرة واحدة.

$$\varphi_x = \int k_x \cdot dx \quad (3)$$

3-2 معادلة المنحنى Curve equation

للحصول على المعادلة الرياضية للمنحنى نكامل معادلة التقوس مرتين.

$$y = \int \varphi_x \cdot dx = \iint k_x \cdot d^2x \quad (4)$$

4-2 الارتداد الجانبي (variation of lateral acceleration)

يعرف الارتداد الجانبي بأنه تغير التسارع الجانبي في وحدة الزمن.

$$\psi = \frac{db}{dt} \quad (5)$$

الارتداد الجانبي ولا تزيد قيمته في الحالات الطبيعية على 1.0 m/sec^3

b التسارع الجانبي وتتراوح قيمته في الحالات الطبيعية بين 0.55m/sec^2 إلى

0.60m/sec^2

$$\psi = \frac{v^3}{R.l} \quad (6)$$

3- المنحنيات الانتقالية متغيرة التقوس خطياً^[2,3]

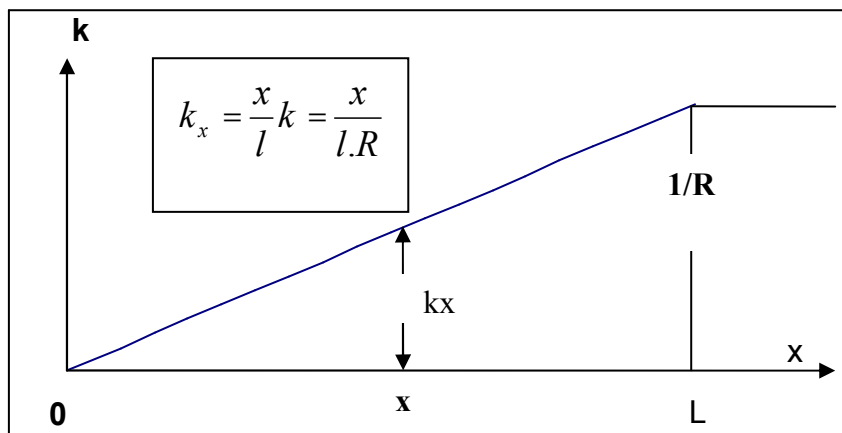
linear curvature transition curves

تستخدم المنحنيات الانتقالية في التخطيط الأفقي لمسارات الخطوط الحديدية للسرعات العادية (120 كم/سا)، وتكون عادة ذات تقوس متغير خطيا. يعطى التقوس الخطى في المعادلة

$$k_x = \frac{x}{l} k = \frac{x}{l.R} \quad (7)$$

l طول المنحنى الانتقالى

R نصف قطر المنحنى الدائري



الشكل 2 : مخطط التقوس الخطى

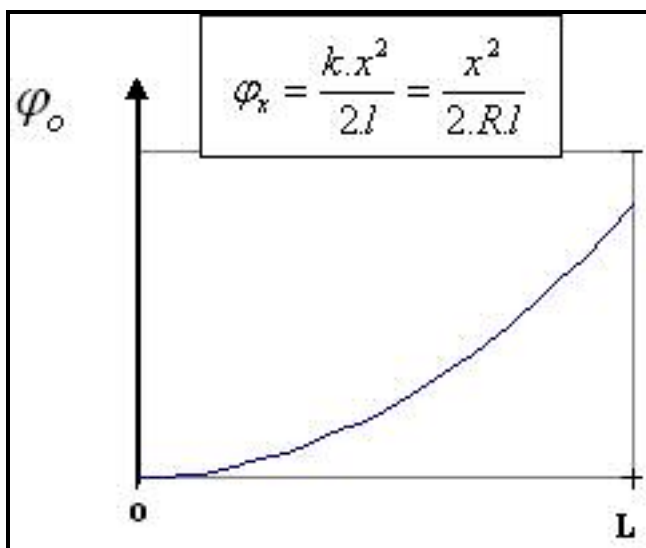
بإجراء التكامل نحصل على زاوية ومعادلة المنحني:

$$\varphi_x = \frac{k \cdot x^2}{2 \cdot l} = \frac{x^2}{2 \cdot R \cdot l} \quad (8)$$

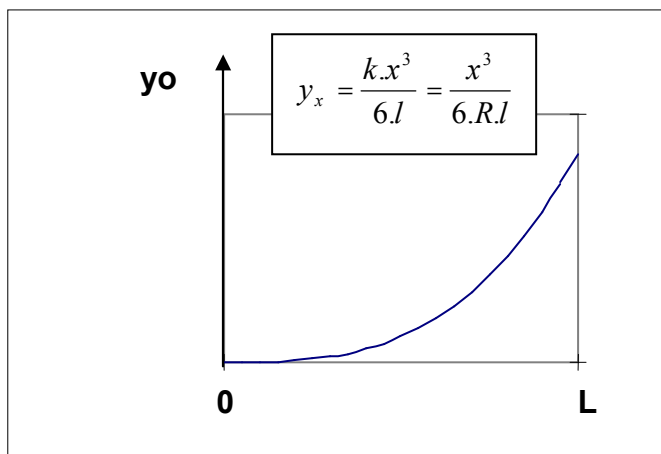
$$y_x = \frac{k \cdot x^3}{6 \cdot l} = \frac{x^3}{6 \cdot R \cdot l} \quad (9)$$

وهي معادلة القطع المنحني الانقالي من الشكل القطع المكافئ التكعبي المعروف
والمستخدم عادة في الخطوط الحديدية.

نمثل المعادلتين الأخريتين بيانيا في الشكلين 3 و 4.



الشكل 3 : مخطط زاوية المنحني الموافق للقطع المكافئ التكعبي



الشكل 4 : مخطط المنحنى الانتقالى ذي التقوس الخطى

كما تستخدم المنحنيات الانتقالية المعروفة بالكلوتوريد، وهي منحنيات متغير التقوس خطياً. تحسب إحداثياتها بدلالة المسافة المقاسة على المنحنى.

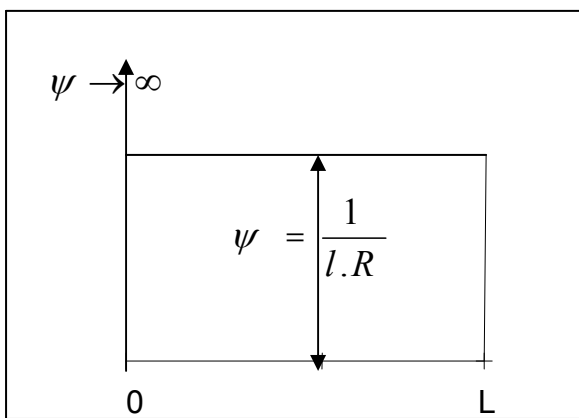
$$x = s \left(1 - \frac{s^4}{40(Rl)^2} + \frac{s^8}{3456(Rl)^4} - \frac{s^{12}}{599040(Rl)^6} \right) \quad (10)$$

$$y = s \left(\frac{s^2}{6Rl} - \frac{s^6}{336(Rl)^3} - \frac{s^{10}}{42240(Rl)^5} \right) \quad (11)$$

s المسافة المقيسة على المنحنى بدءاً من بدايته.

إن معادلة القطع المكافئ التكعيبى تطبق على الكلوتوريد عندما تكون أنصاف قطرار المنحنيات الأفقية كبيرة (أكبر من 3000 م).

يكون مخطط الارتداد الجانبي ثابتاً على كامل المنحنى الانتقالى متغير التقوس الخطى (الشكل 5) ويساوي الصفر في المنحنيات الدائرية. كما هو مبين في الشكل فإن الارتداد الجانبي يشكل قفزة في بداية المنحنى الانتقالى حيث ينتقل من قيمة لا نهائية إلى قيمة محددة، وفي نهايته ينتقل إلى الصفر بشكل قفزة أيضاً.



الشكل 5 : مخطط الارتداد الموافق للتقوس الخطى

4- المنحنيات الانتقالية متغيرة التقوس لا خطياً [2,4,5]

Non-linear curvature transition curves

تستخدم المنحنيات الانتقالية ذات التقوس اللا خطى في الخطوط الحديدية ذات السرعات العالية (السرعة أكبر من 160 كم/سا) وعند اختيار نوع المنحنى الانتقالى نعمد إلى تقييم تأثير عناصره في الشروط الحركية للقطارات عند دخولها المنحنيات الدائرية. وفي هذا البحث تم إدخال عامل إضافي للتقييم وهو الارتداد الجانبي.

قمنا بتحليل لعدد من المنحنيات الانتقالية وهي المنحنى الأصلي ذي التقوس الخطى (أى المنحنى من الشكل القطع المكافئ التكعيبى الوارد في المعادلة 9) والمنحنيين الواردين أدناه في الفقرتين 1-4 و 2-4 كما قمنا بتجرب عدد من التوابع الرياضية لاستخدامها في المنحنيات الانتقالية بحيث يكون التقوس فيها لا خطياً واختبرنا منها المنحنيات الواردة في الفقرات 3-4 و 4-4 و 5-4.

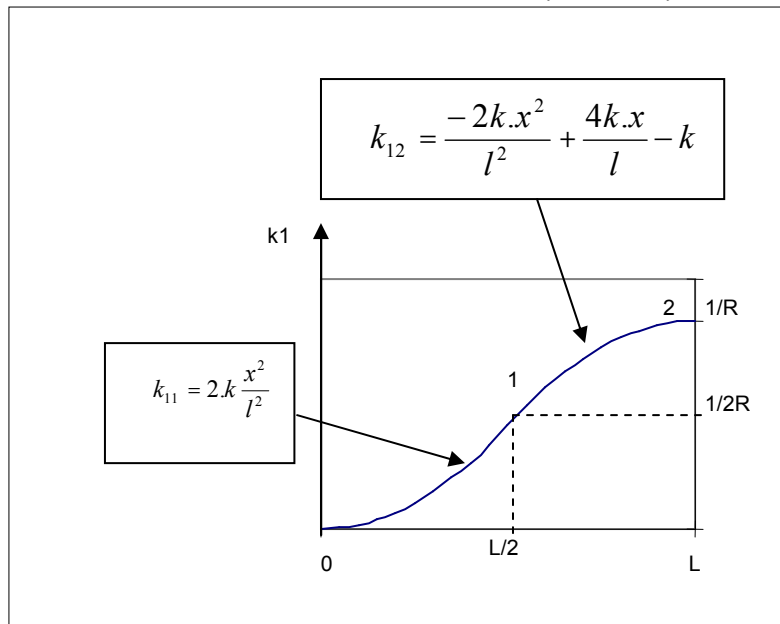
4-1 منحنى انتقالى متغير التقوس من الدرجة الثانية $F(x) = ax^2 + bx + c$

نختار منحنى التقوس قطعاً مكافئاً تربيعياً. يمثل النصف الأول من منحنى التقوس بين بدايته وحتى منتصفه على شكل قطع مكافئ موجب، تطبق ذروته على مبدأ الإحداثيات (النقطة 1في الشكل 6) وتكون معادلة منحنى التقوس:

$$0 \leq x \leq l : k_{11} = 2.k \frac{x^2}{l^2} \quad (12)$$

أما النصف الثاني منه فيكون قطعاً مكافئاً سالباً، تتطبق ذروته على النقطة 2 (الشكل 6) التي فاصلتها تساوي طول المنحنى الانتقالى وترتيبها هو $1/R$ ومعادلته:

$$\frac{l}{2} \leq x \leq l : k_{12} = \frac{-2k.x^2}{l^2} + \frac{4k.x}{l} - k \quad (13)$$



الشكل 6 : منحنى التقوس من الدرجة الثانية

بالتكامل نحصل على معادلة زاوية المنحنى:

$$\varphi_{11} = \frac{2}{3Rl^2} x \quad (14)$$

$$\varphi_{12} = -\frac{2}{3Rl^2}x^3 + \frac{2}{Rl}x^2 - \frac{x}{R} + \frac{l}{6R} \quad (15)$$

وبالتكامل مرة ثانية نحصل على معادلة المنحني الانتقالى

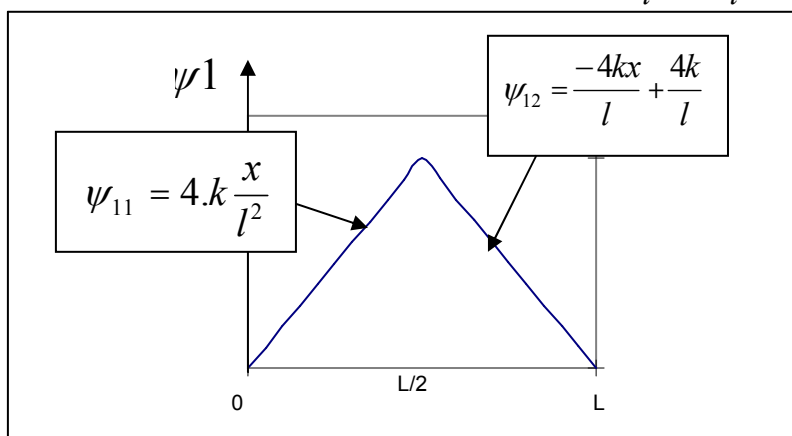
$$y_{11} = \frac{x^4}{6Rl^2} \quad (16)$$

$$y_{12} = -\frac{x^4}{6Rl^2} + \frac{2x^3}{3Rl} - \frac{x^2}{2R} + \frac{l}{6R}x - \frac{l^2}{48R} \quad (17)$$

يكون شكل مخطط الارتداد متغيراً خطياً من القيمة صفر في بداية المنحني الانتقالى وحتى قيمة أعظمية في منتصفه، ثم يتلاقص خطياً حتى الصفر في نهايته. يمكن الحصول عليه رياضياً باشتقاق معادلة التقوس

$$\psi_{11} = 4k \frac{x}{l^2} \quad (18)$$

$$\psi_{12} = \frac{-4kx}{l} + \frac{4k}{l} \quad (19)$$



الشكل 7 : منحني الارتداد الجانبي الموافق للتقوس اللا خطى - النموذج 1

2- منحنى انتقالى متغير التقوس من الدرجة الثالثة

$$F(x) = ax^3 + bx^2 + cx + d$$

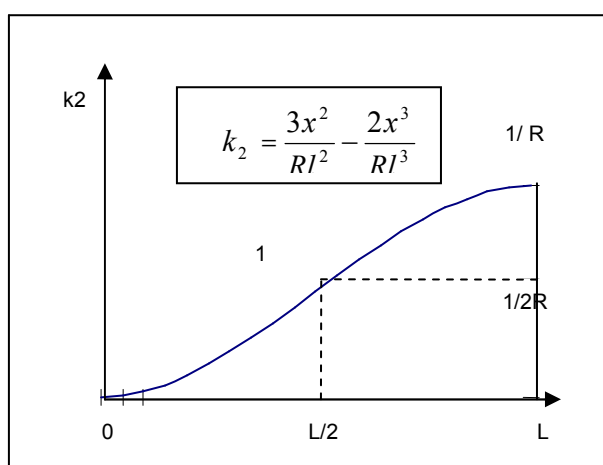
وهذا الشكل من المنحنى معتمد في الخطوط الحديدية الألمانية الاتحادية. يكون منحنى التقوس قطعاً مكافئاً تكعيبياً. تطبق نقطة الانعطاف فيه على النقطة 1 في الشكل 8 التي فاصلتها تساوي نصف طول المنحنى الانتقالى وترتيبها $1/2R$

بشكل مشابه للحالة السابقة نكتب معادلات التقوس والزاوية والمنحنى الانتقالى

$$k_2 = \frac{3x^2}{Rl^2} - \frac{2x^3}{Rl^3} \quad (20)$$

$$\varphi_2 = \frac{x^3}{Rl^2} - \frac{x^4}{2Rl^3} \quad (21)$$

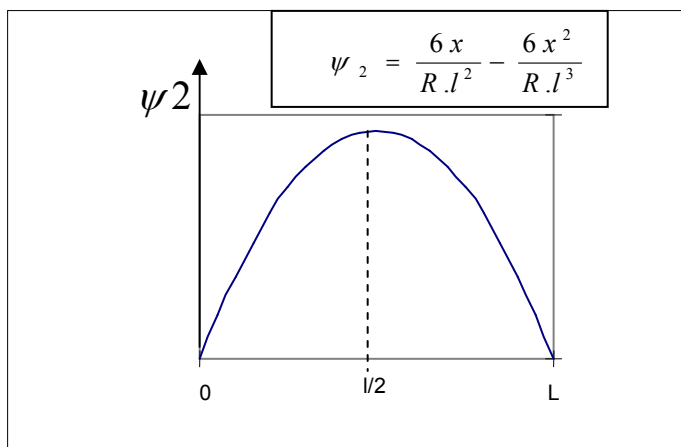
$$y_2 = \frac{x^4}{4Rl^2} - \frac{x^5}{10Rl^3} \quad (22)$$



الشكل 8 : منحنى التقوس من الدرجة الثالثة

يكون شكل مخطط الارتداد متغيراً لا خطياً من القيمة صفر في بداية المنحنى الانفعالي وحتى قيمة أعظمية في منتصفه، ثم يتناقص لا خطياً حتى الصفر في نهايته. يمكن الحصول عليه رياضياً باشتقاق معادلة التقوس .

$$\psi_2 = \frac{6x}{R.l^2} - \frac{6x^2}{R.l^3} \quad (23)$$



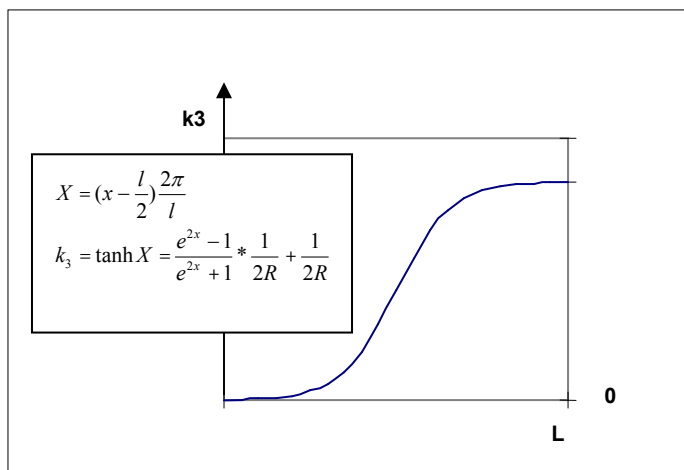
الشكل 9 : منحنى الارتداد الجانبي الموافق للتقوس اللا خطى - النموذج 2

3-4 منحنى انتقالى متغير التقوس من الشكل الظل الزاندى ($F(x) = \tanh(x)$)

نختار جملة الإحداثيات لمنحنى التقوس متوافقة مع الهدف من الدراسة. أي محور السينات يكون مقارباً للمنحنى عند بدايته، والمستقيم $k=1/R$ مقارباً له في نهايته. وإحداثيات نقطة الانعطف هي $(L/2, 1/2R)$ و تكون معادلته

$$X = \left(x - \frac{l}{2}\right) \frac{2\pi}{l} \quad (24)$$

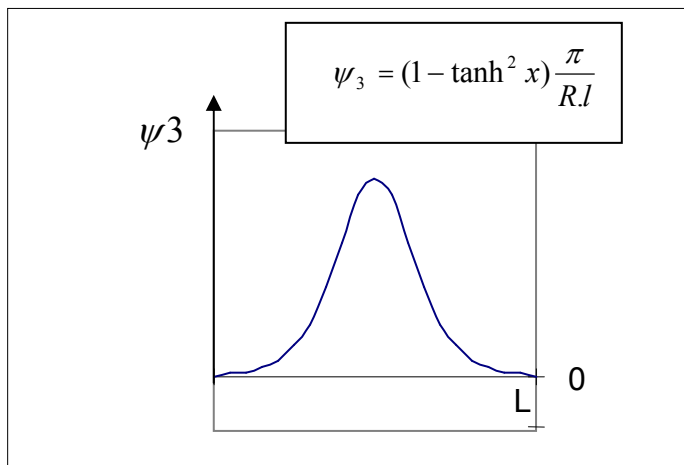
$$k_3 = \tanh X = \frac{e^{2X} - 1}{e^{2X} + 1} * \frac{1}{2R} + \frac{1}{2R}$$



الشكل 10 : منحنى التقوس - النموذج 3

ويأخذ منحنى الارتداد الشكل:

$$\psi_3 = (1 - \tanh^2 x) \frac{\pi}{Rl} \quad (25)$$



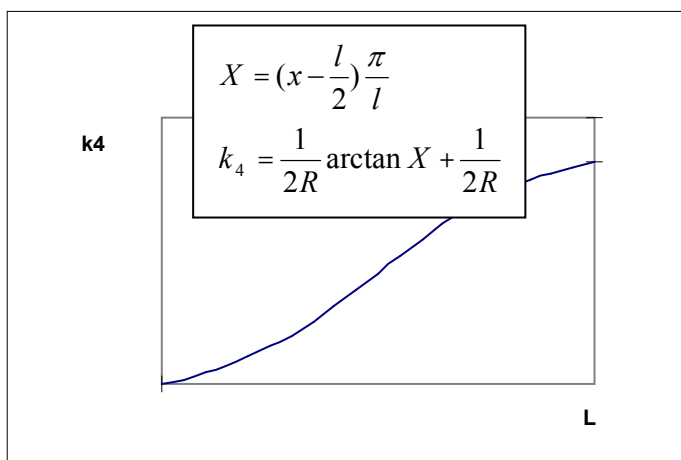
الشكل 11 : منحنى الارتداد - النموذج 3

4.4 منحنى انتقالى متغير التقوس من الشكل الظل العكسي

$$F(x) = \arctan(x)$$

كما في الحالة السابقة نختار جملة الإحداثيات لمنحنى التقوس متوافقة مع الهدف من الدراسة. أي محور السينات يكون مقارباً لمنحنى عند بدايته، والمستقيم $Y=1/R$ مقارباً له في نهايته. وإحداثيات نقطة الانعطاف هي $(L/2, 1/2R)$ و تكون معادلته

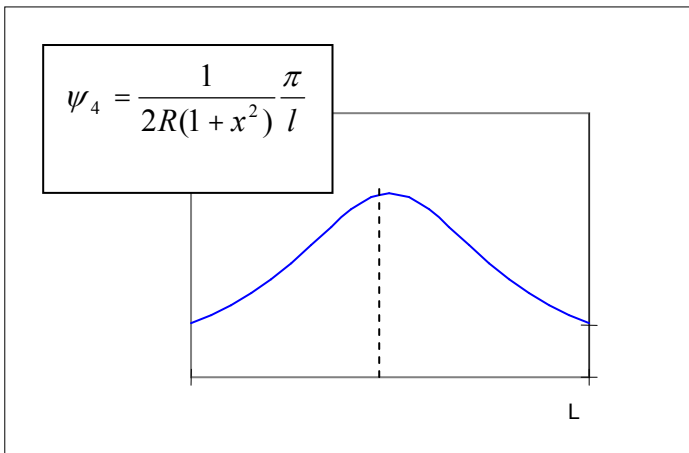
$$\begin{aligned} X &= \left(x - \frac{l}{2}\right) \frac{\pi}{l} \\ k_4 &= \frac{1}{2R} \arctan X + \frac{1}{2R} \end{aligned} \quad (26)$$



الشكل 12 : منحنى التقوس - النموذج 4

منحنى الارتداد لهذا المنحنى

$$\psi_4 = \frac{1}{2R(1+x^2)} \frac{\pi}{l} \quad (27)$$



الشكل 13 : منحنى الارتداد الجانبي - النموذج 4

4-5 منحنى انتقالى متغير التقوس من الشكل كثير الحدود

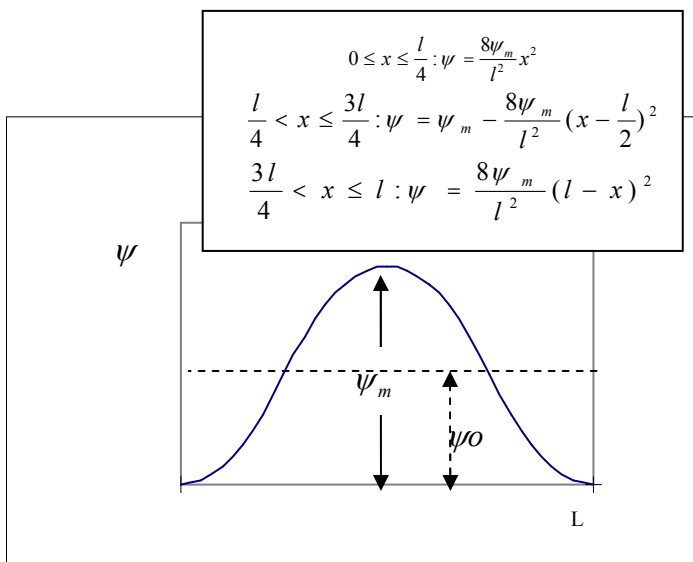
طورنا هذا المنحنى من المنحنى النوع الثاني وقد اعتمدنا على تصور مسبق لشكل الارتداد الجانبي، بحيث يتزايد تدريجياً حتى القيمة العظمى في المنتصف ثم يعود بالتناقص التدريجى أيضاً، ويشكل في بدايته ونهايته مماساً لمحور السينات وبذلك يختلف عن المنحنى من النوع الثاني الذي يتغير شكل مخطط الارتداد الجانبي بشكل قطع مكافئ مشكلاً زاوية حادة مع محور السينات.

للحصول على معادلة هذا المنحنى نبدأ من منحنى الارتداد الجانبي الذي اعتمدنا له شكلاً مسبقاً يؤمن له تغيراً انسياطياً (المعادلات 28,29,30).

$$0 \leq x \leq \frac{l}{4} : \psi = \frac{8\psi_m}{l^2} x^2 \quad (28)$$

$$\frac{l}{4} < x \leq \frac{3l}{4} : \psi = \psi_m - \frac{8\psi_m}{l^2} \left(x - \frac{l}{2}\right)^2 \quad (29)$$

$$\frac{3l}{4} < x \leq l : \psi = \frac{8\psi_m}{l^2} (l-x)^2 \quad (30)$$



الشكل 14 : منحنى الارتداد الجانبي - النموذج 5

للحصول على معادلة القوس نقوم بتكامل معادلة الارتداد الجانبي مرة واحدة وتكون

$$0 \leq x \leq \frac{l}{4} : k = \frac{8\psi_m}{3l^2} x^3 \quad (31)$$

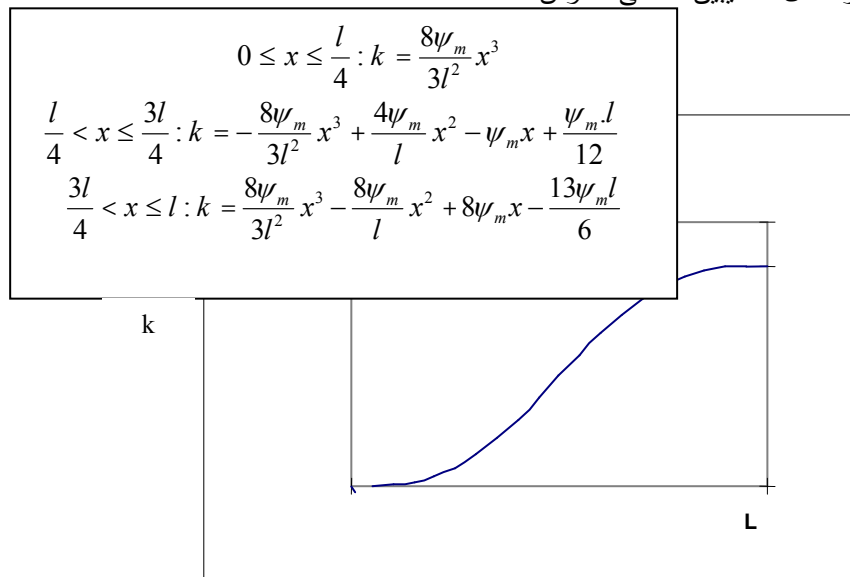
$$\frac{l}{4} < x \leq \frac{3l}{4} : k = -\frac{8\psi_m}{3l^2} x^3 + \frac{4\psi_m}{l} x^2 - \psi_m x + \frac{\psi_m \cdot l}{12} \quad (32)$$

$$\frac{3l}{4} < x \leq l : k = \frac{8\psi_m}{3l^2} x^3 - \frac{8\psi_m}{l} x^2 + 8\psi_m x - \frac{13\psi_m l}{6} \quad (33)$$

نظراً لأن منحنى الارتداد هو مشتق منحنى القوس لذلك فإن المساحة المقصورة بين منحنى الارتداد الجانبي ومحور الفواصل تساوي القوس في نهاية المنحنى الانهائي أي $\frac{1}{R}$ ، لذلك فإن قيمة الارتداد الجانبي العظمى في منتصف المنحنى نختارها من شرط تساوي المساحة تحت منحنى الارتداد في الحالة الخطية والمساحة تحت منحنى الارتداد في حالتنا المدرستة (الشكل 14)

$$\psi_m = 2\psi_0 \quad (34)$$

والشكل 15 يبين منحنى التقوس



الشكل 15 : منحنى التقوس - النموذج 5

للحصول على معادلات زاوية الاتجاه والمنحنى الانتقالى يمكن الوصول إلى ذلك رياضياً بإجراء التكامل لمعادلة الارتداد الجانبي مرتين أو ثلاثة مرات على التسلسل.
معادلة زاوية الاتجاه:

$$(35) \quad 0 \leq x \leq \frac{l}{4} : \varphi = \frac{2\psi_m}{3l^2} x^4$$

$$(36) \quad \frac{l}{4} < x \leq \frac{3l}{4} : \varphi = -\frac{2\psi_m}{3l^2} x^4 + \frac{4\psi_m}{3l} x^3 - \frac{1}{2}\psi_m x^2 + \frac{\psi_m l}{12} x - \frac{\psi l^2}{192}$$

$$(37) \quad \frac{3l}{4} < x \leq l : \varphi = \frac{2\psi_m}{3l^2} x^4 - \frac{8\psi_m}{3l} x^3 + 4\psi_m x^2 - \frac{13\psi_m l}{6} x + \frac{5\psi l^2}{12}$$

معادلة المنحنى

$$(38) \quad 0 \leq x \leq \frac{l}{4} : \\ y_1 = \frac{2\psi_m}{15l^2} x^5$$

$$\frac{l}{4} < x \leq \frac{3l}{4} :$$

$$(39) \quad y_2 = -\frac{2\psi_m}{15l^2} x^5 + \frac{\psi_m}{3l} x^4 - \frac{1}{6} \psi_m x^3 + \frac{\psi_m l}{24} x^2 - \frac{\psi l^2}{192} x + \frac{\psi_m l^3}{3840}$$

$$\frac{3l}{4} < x \leq l :$$

$$(40) \quad y_3 = \frac{2\psi_m}{15l^2} x^5 - \frac{2\psi_m}{3l} x^4 + \frac{4}{3} \psi_m x^3 - \frac{13\psi_m l}{12} x^2 + \frac{5\psi l^2}{12} x - \frac{\psi_m l^3}{16}$$

ويمكن كتابة معادلات المنحنى الانتقالية باعتبار $\psi_m = 2\psi_0 = \frac{2}{Rl}$ كما يأتي:

$$(41) \quad 0 \leq x \leq \frac{l}{4} : \\ y_1 = \frac{4}{15 Rl^3} x^5$$

$$\frac{l}{4} < x \leq \frac{3l}{4} :$$

$$(42) \quad y_2 = -\frac{4}{15 Rl^3} x^5 + \frac{2}{3 Rl^2} x^4 - \frac{1}{3 Rl} x^3 + \frac{1}{12 R} x^2 - \frac{l}{96 R} x + \frac{l^2}{1920 R}$$

$$\frac{3l}{4} < x \leq l :$$

$$(43) \quad y_3 = \frac{4}{15 Rl^3} x^5 - \frac{2}{3 Rl^2} x^4 + \frac{8}{3 Rl} x^3 - \frac{13}{6 R} x^2 + \frac{5l}{6 R} x - \frac{l^2}{8 R}$$

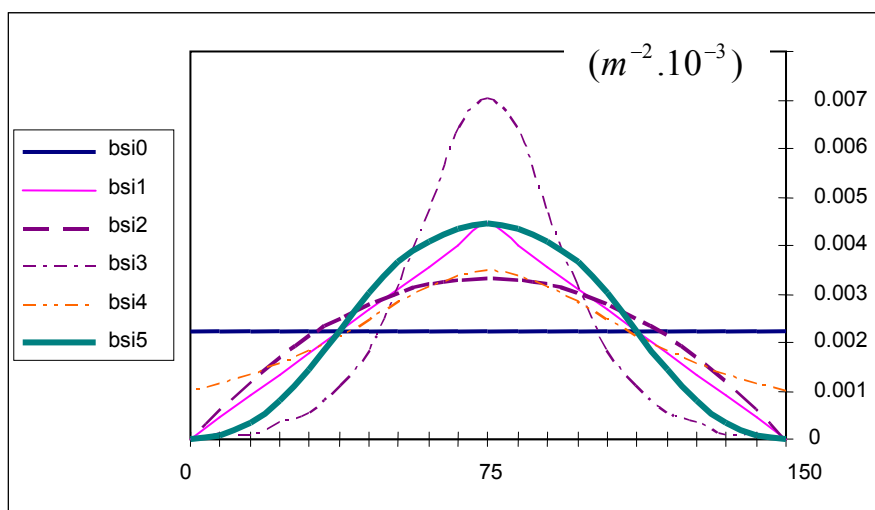
5- مقارنة بين المنحنيات الانتقالية

وللوضيح المقارنة بين أنواع المنحنيات الانتقالية السابقة سنأخذ مثلاً عددياً. عناصر المنحنى الانتقالى متواقة مع الدراسات المقدمة في الخطوط الحديدية السورية [6]:

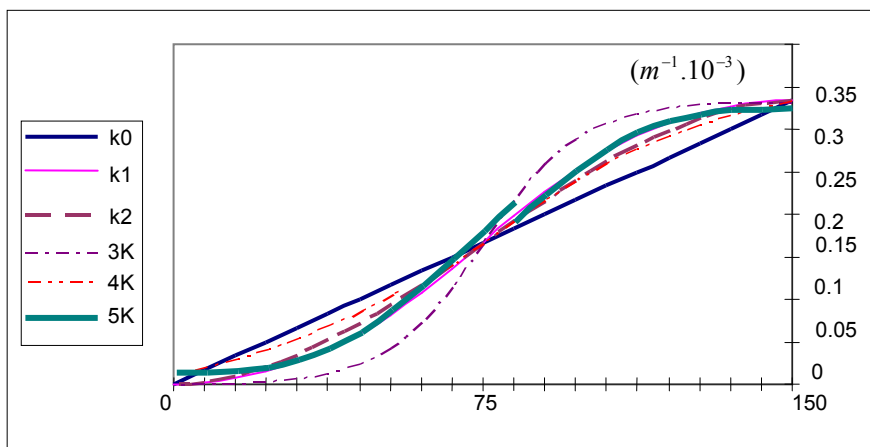
الطول $L=150\text{m}$

نصف القطر $R=3000\text{m}$

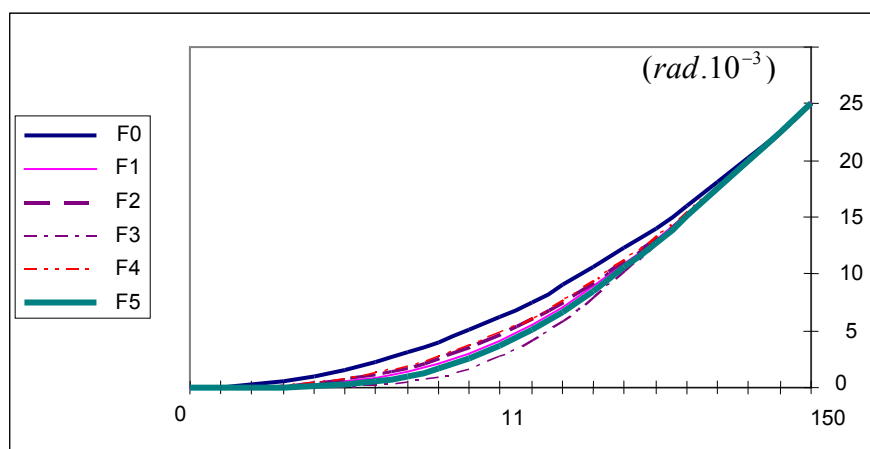
حسبت جميع القيم العددية ببرنامج اكسل 2003 حيث قسم الطول إلى عشرين قسماً متساوياً. للتأكد من نتائج الحساب حسبت جميع القيم العددية بطريقتين الطريقة الأولى الحل العددي والطريقة الثانية الحل التحليلي. وكانت النتائج متقاربة جداً. والأشكال الآتية تبين نتائج الحساب.



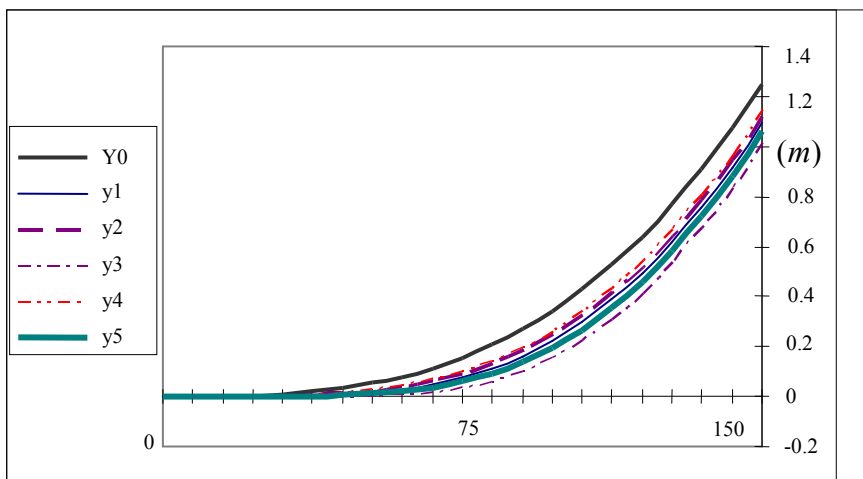
الشكل 16 : منحنيات الارتداد الجانبي للنماذج المدرروسة



الشكل 17 : منحنيات التقوس للنماذج المدرosaة



الشكل 18 : منحنيات زاوية الاتجاه للنماذج المدرosaة



الشكل 19 : منحنيات النماذج المدروسة

ونجد الإشارة إلى أنه للحصول على قيمة الارتداد الجانبي يجب ضرب قيمته في المخطط بمكعب السرعة مقدرة بالمتر في الثانية.

إن سلوك الارتداد الجانبي يتغير حسب نوع المنحنى. فمن أجل المنحنى الأصلي (المنحنى القطعي التكعيبى) يكون الارتداد الجانبي ثابتاً على كامل طول المنحنى. وتكون قيمته لانهائية عند الاستقامة وتساوي الصفر عند بداية المنحنى الدائري، أي يتغير بشكل قفزات.

ومن أجل المنحنى من النموذج الأول يزداد الارتداد الجانبي خطياً حتى منتصف المنحنى الانتقالى ليصل إلى قيمته العظمى ثم يتناقص خطياً حتى الصفر عند نهاية المنحنى.

في النموذج الثانى يتغير الارتداد الجانبي بزاوية كبيرة مع محور الفوائل مشكلاً قطعاً مكافئاً، ويبلغ قيمته العظمى عند منتصف المنحنى الانتقالى.

وفي النموذج الثالث يتغير الارتداد الجانبي بشكل حاد، ويبلغ قيمته العظمى عند منتصف المنحنى الانتقالى أكثر من ثلاثة أضعاف الارتداد الجانبي للنموذج الخطى.

في النموذج الرابع يتغير الارتداد الجانبي ابتداء من بداية المنحنى بقيمة تقارب 25% من قيمته العظمى في منتصفه ثم يعود فيتناقص حتى ذات القيمة في نهايته.

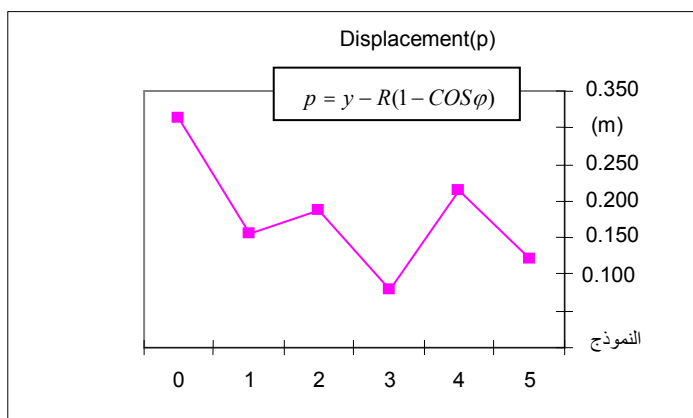
في النموذج الخامس يكون منحنى الارتداد الجانبي متغيراً بشكل انسياطي ومشكلاً مماساً لمحور الفوائل في بدايته ثم يتزايد إلى القيمة العظمى له والتي تساوي ضعفي الارتداد الجانبي للنموذج الخطى في المنتصف ثم يتناقص بشكل مناظر.

6- النتائج والتوصيات

1- النماذج المدروسة متقاربة من بعضها في النصف الأول من المنحنى الانتقالى، وتختلف في تباعدها عند نهاية المنحنى. يبلغ مقدار الانزياح للمنحنى الدائرى الأصلي ذي التقوس الخطى (أى القطع المكافئ التكعيبى أو الكلوتونىدى)

$$p = y - R(1 - \cos\varphi) \quad (44)$$

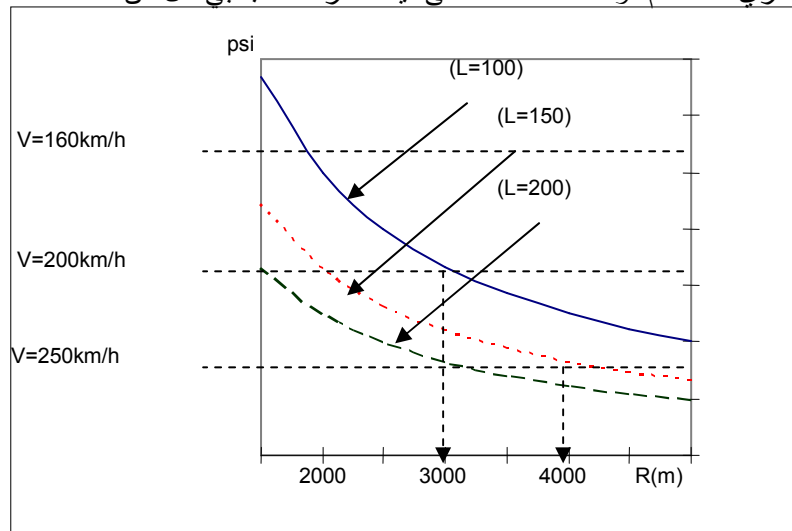
والشكل يبين مقدار الانزياح للنماذج المدروسة



الشكل 20 : الانزياح الجانبي للنماذج المدروسة

2- ندرس تأثير تغير نصف القطر والطول فى القيمة العظمى للارتداد الجانبي من أجل النموذج الخامس. ويمكن بشكل مماثل استنتاج منحنيات مشابهة للنماذج السابقة. كما يبين الشكل فإنه من أجل سرعة 250 كم/سا يكون طول المنحنى الانتقالى 200م

ونصف القطر الأصغرى 3000 م، أو طول المنحنى الانقالي 150 م ونصف القطر الأصغرى 4000 م، وذلك للمحافظة على قيمة الارتداد الجانبي أقل من 1.0m/sec^2 .



الشكل 21: تأثير تغير نصف القطر وطول المنحنى في الارتداد الجانبي

3- نلخص نتائج التقييم في الجدول الآتي حيث اعتمدنا الارتداد الجانبي والتقوس والانزياح الجانبي كمؤشرات تقييم. ورتتبنا المنحنيات الخمسة المدروسة وفق تلك المؤشرات كمياً بعدد من النقاط تتراوح بين 5 نقاط ونقطة واحدة.

نوع المنحنى الانقالي	مؤشرات التقييم	الارتداد الجانبي	التقوس	الانزياح الجانبي	المجموع (من 15 نقطة)
1	4 نقاط	5 نقاط	3 نقاط	12	
2	3 نقاط	3 نقاط	2 نقطة	8	
3	2 نقاط	1 نقطة	5 نقاط	8	
4	1 نقطة	2 نقطة	1 نقطة	4	
5	5 نقاط	4 نقاط	4 نقاط	13	

4- بناء على التحليل السابق فإننا نوصي باعتماد النموذج الأول أو الخامس من المنحنيات الانقلالية في الخطوط الحديدية السورية وذلك للسرعات العالية. وتضمين ذلك في المواصفات الفنية ضمن وثائق التعاقد مع الشركات عند إعداد الدراسات.

المراجع

- 1- Bartsch, H-J.: Mathematische Formeln, Fachbuchverlag Leipzig ,20.
Auflage 1984
- 2- Kohler, J.: Gleisgeometrie, transpress, Verlag fuer Verkehrswesen-Berlin 1981
- 3- CEN(2002): Railway application - Track alignment design parameters – Track gauge 1435 and wider – part 1:plain line – ENV 13803-1:2002
- 4- Lindahl, M.:Track geometry for high – speed railway,railway technology – deoartment of vehicle engineering, Royal Institute of Technology , Stokholm 2001
- 5- Fiscvher. S.: Comparison of three railway track transition curve types, Szechenyi Istvan University, Gyor , Hungary
- 6- Syrian Railway Establishment CFS , website: www.cfssyria.org

تاریخ ورود البحث إلى مجلة جامعة دمشق: 2008/7/14